

TCSLD3 - TCS Solder Alloy Solutions Database, Version 3

TCSLD is a thermodynamic database for solder alloys for use with Thermo-Calc and the add-on Diffusion Module (DICTRA) and/or Precipitation Module (TC-PRISMA). TCSLD is developed using the CALPHAD methodology, based on critical evaluation of various types of experimental data and theoretical information which enables pre-screening of potential solder candidate compositions, predictions of various thermodynamic properties and phase equilibria, and providing information on possible interfacial reactions. The results from these predictions can be applied to eliminate candidate solder alloys for which the calculations reveal unsuitable freezing temperature ranges and undesired phases from further testing, and thus to accelerate design of new solder alloys as well as to improve understanding of existing solder alloys in terms of their processing and in-service behavior.

The database contains all the important solder alloy systems, e.g., Sn-/Au-/Bi-/Zn-based solders and Cu, Ni, Pd etc. relevant substrate or metallization materials. In total 21 elements are included:

Ag	Al	Au	Bi	Ca	Cd	Co	Cu	Ga	Ge	In	
Mg	Mn	Ni	Pd	Pd	Pt	Sb	Si	Sn	Zn		

TCSLD includes critically assessed thermodynamic descriptions for 139 binary systems and 72 ternary systems which can be calculated with the BINARY module and the TERNARY module in Thermo-Calc, respectively. For details on the assessed systems please see section '*List of all systems critically assessed in TCSLD*'. The diagrams of some selected systems are calculated and shown in '*Examples of calculations using TCSLD*'.

TCSLD contains 271 solution and intermetallic phases which covers all the important solder alloy phases. Please note that the phases having the same crystal structure have been merged as the same phase in most cases. The GAS phase is rejected by default when retrieving data from the database. One has to manually restore it when it is required for a calculation. A list of the phases and a detailed description of their models and constituents are given in '*List of all phases included in TCSLD*' and '*List of models for all the phases included in TCSLD*', respectively.

The TCSLD database enables predictions to be made for various thermodynamic properties, stable/metastable phase equilibria and phase transformations of solder systems (Pb-containing/Pb-free), and for simulating the effects of non-equilibrium solidification and micro-segregation of various soldering processes. The database has been validated where possible against commercial solder alloys and available experimental information. Some selected examples of the application of TCSLD in solder development are demonstrated in '*Examples of calculations using TCSLD*'.

Systems Critically Assessed in TCSLD

Assessed Binary Systems (139)

	Ag	Al	Au	Bi	Ca	Cd	Co	Cu	Ga	Ge	In	Mg	Mn	Ni	Pb	Pd	Pt	Sb	Si	Sn	Zn
Al	2																				
Au	2	2																			
Bi	2	2	2																		
Ca		2																			
Cd																					
Co	2	2	2	2																	
Cu	2	2	2	2			2	2													
Ga	2	2							2												
Ge	2	2	2	2					2	2	2										
In	2	2	2	2				2	2			2									
Mg		2								2											
Mn									2												
Ni	2	2	2	2					2	2		2	2								
Pb	2	2	2	2	2	2	2	2	2		2	2	2		2						
Pd	2	2	2	2			2	2			2				2	2					
Pt	2	2	2	2				2	2	2	2	2			2	2					
Sb	2	2	2	2		2	2	2		2	2				2	2	2	2			
Si	2	2	2	2			2	2		2	2				2	2	2	2	2		
Sn	2	2	2	2	2	2	2	2	2	2	2	2	2	2	2	2	2	2	2		
Zn	2	2	2	2		2	2	2	2	2	2	2	2		2	2	2		2	2	

Note: Low temperature ordered phases are not fully included in Au-Cu, Co-Pt, Cu-Pd, Cu-Pt, Ni-Pt.

Assessed Ternary Systems (72)

Ag-Al-Cu	Ag-Au-Bi	Ag-Au-Cu*	Ag-Au-Ge	Ag-Au-Ni	Ag-Au-Pb	Ag-Au-Sb
Ag-Au-Si	Ag-Au-Sn	Ag-Bi-Cu	Ag-Bi-In	Ag-Bi-Sb	Ag-Bi-Sn	Ag-Cu-In
Ag-Cu-Pb	Ag-Cu-Pd	Ag-Cu-Sn	Ag-In-Pd	Ag-In-Sb	Ag-In-Sn	Ag-Ni-Sn
Ag-Sb-Sn	Ag-Sb-Zn	Ag-Sn-Zn	Al-Bi-Sn	Al-Bi-Zn	Al-Cu-Sn	Al-Cu-Zn
Al-Ga-Zn	Al-Ge-Zn	Al-Mg-Zn	Al-Pb-Sn	Al-Sn-Zn	Au-Bi-Sb	Au-Bi-Sn
Au-Co-Sn	Au-Cu-Sb*	Au-Ge-Sn	Au-In-Sb	Au-In-Sn	Au-Ni-Sn	Au-Pb-Sn
Au-Pt-Sn	Au-Sb-Sn	Au-Si-Sn	Bi-Cu-Sb	Bi-Cu-Sn	Bi-In-Pb	Bi-In-Sn
Bi-Pb-Sn	Bi-Sb-Sn	Bi-Sn-Zn	Ca-Pb-Sn	Cd-Pb-Sn	Cd-Sb-Zn	Co-Ni-Sb
Cu-In-Sn	Cu-Mn-Sn	Cu-Ni-Pb	Cu-Ni-Sn	Cu-Pb-Sn	Cu-Si-Zn	Cu-Sn-Zn
Ga-Ge-Pt	Ga-Sn-Zn	Ge-Sb-Sn	In-Ni-Sn	In-Pb-Sn	In-Sb-Sn	In-Sn-Zn
Pb-Sb-Sn	Pb-Sn-Zn					

* Low temperature ordered phases are not included.

Examples of Calculations Using TCSLD

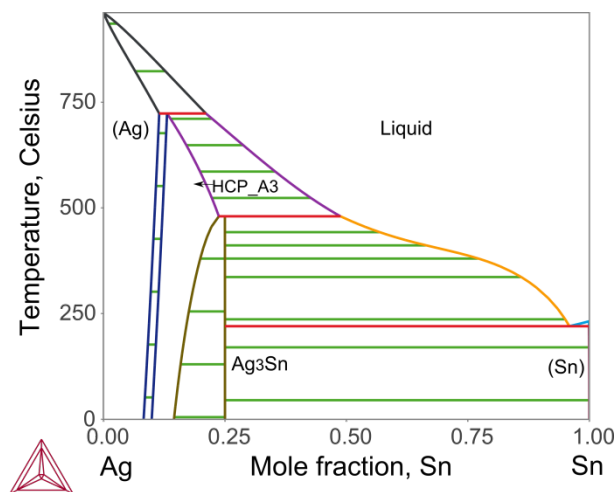


Fig.1: Calculated Ag-Sn phase diagram [1].

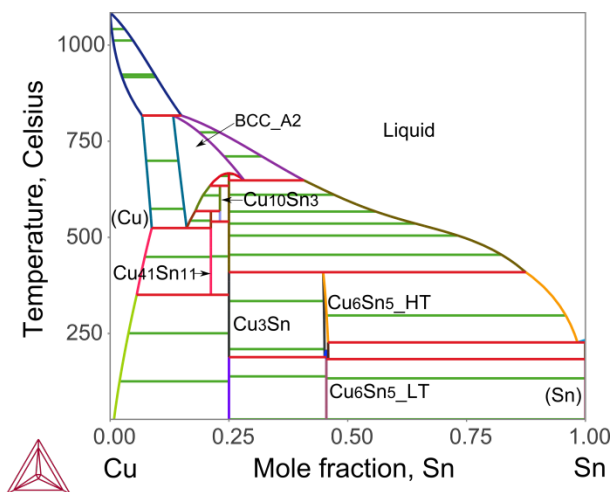


Fig.2: Calculated Cu-Sn phase diagram [2].

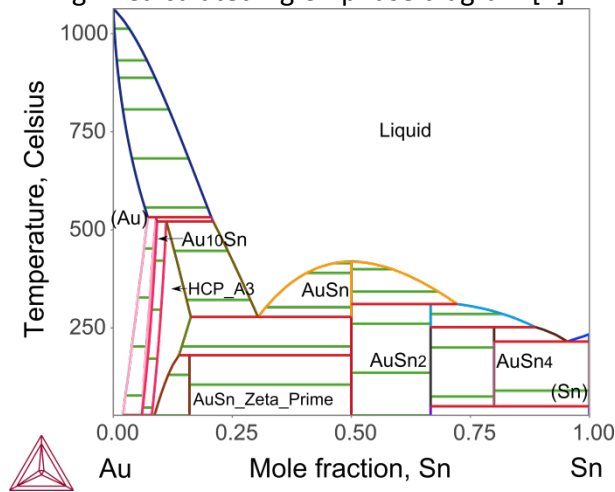


Fig.3: Calculated Au-Sn phase diagram [3].

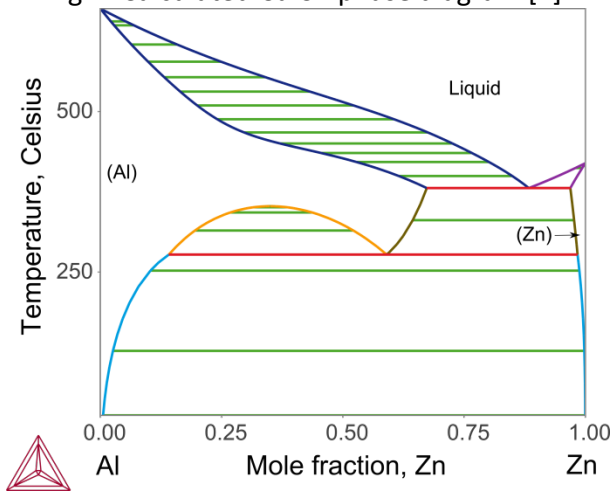


Fig.4: Calculated Al-Zn phase diagram [4].

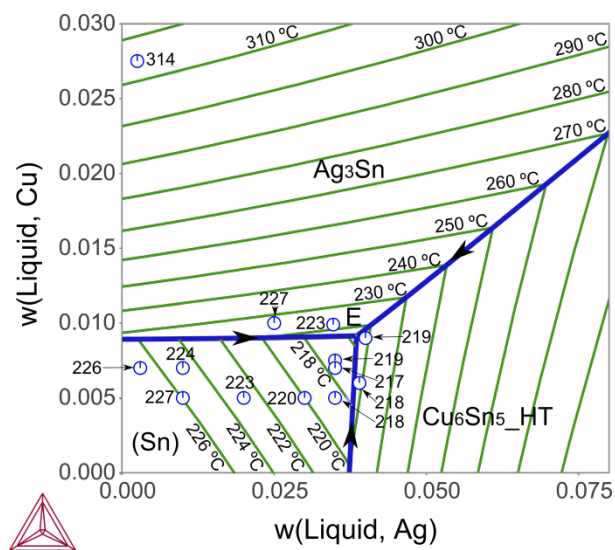


Fig.5: Calculated Sn-Ag-Cu liquidus projection at Sn-rich corner. The reported liquidus temperatures of SnAgCu (SAC) solder alloys are

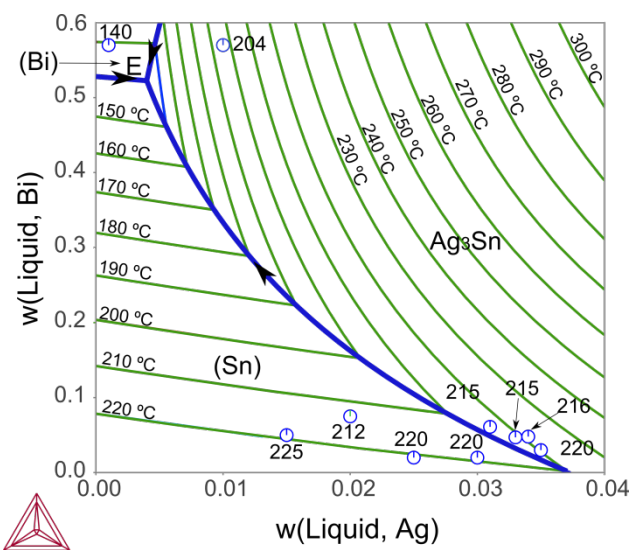


Fig.6: Calculated Sn-Ag-Bi liquidus projection at Sn-rich corner. The reported liquidus temperatures of SnAgBi solder alloys are shown

shown for comparison [5-9]. The difference is less than 2 °C. E: $T_{\text{cal.}}=216$ °C, $T_{\text{exp.}}=217$ °C [10].

for comparison [5, 9, 11]. Ternary eutectic reaction E: $T_{\text{cal.}}=137.5$ °C, $T_{\text{exp.}}=138.4$ °C [12].

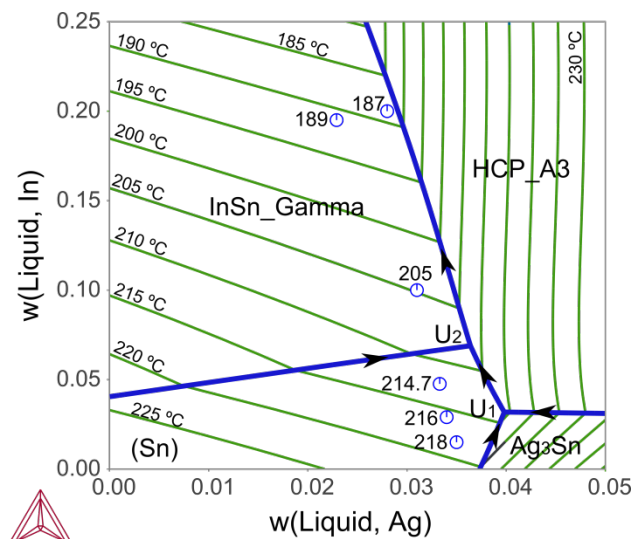


Fig.7: Calculated Sn-Ag-In liquidus projection at Sn-rich corner. The reported liquidus temperatures of SnAgIn solder alloys are shown for comparison [7, 9, 11, 13-14]. The difference is less than 2 °C. U₁: $T_{\text{cal.}}=214$ °C, $T_{\text{exp.}}=215$ °C [14]; U₂: $T_{\text{cal.}}=207.5$ °C, $T_{\text{exp.}}=206$ °C [14].

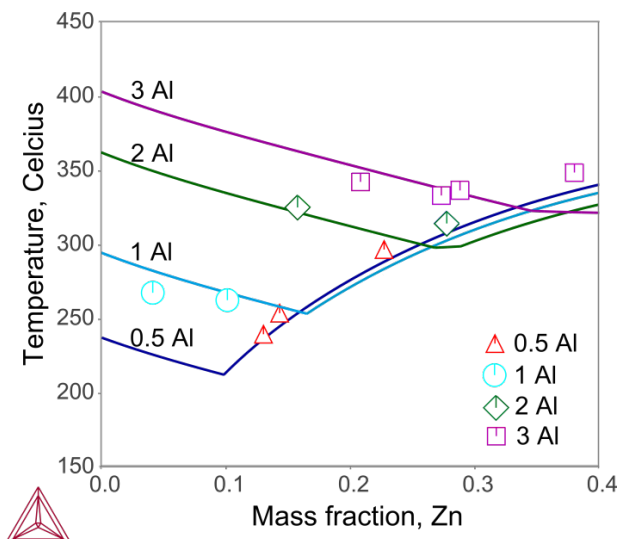


Fig.8: The effect of Zn content on the melting temperatures of Sn-Zn-Al solder alloys at different fixed Al content (experimental data are from Smetana et al. [15]).

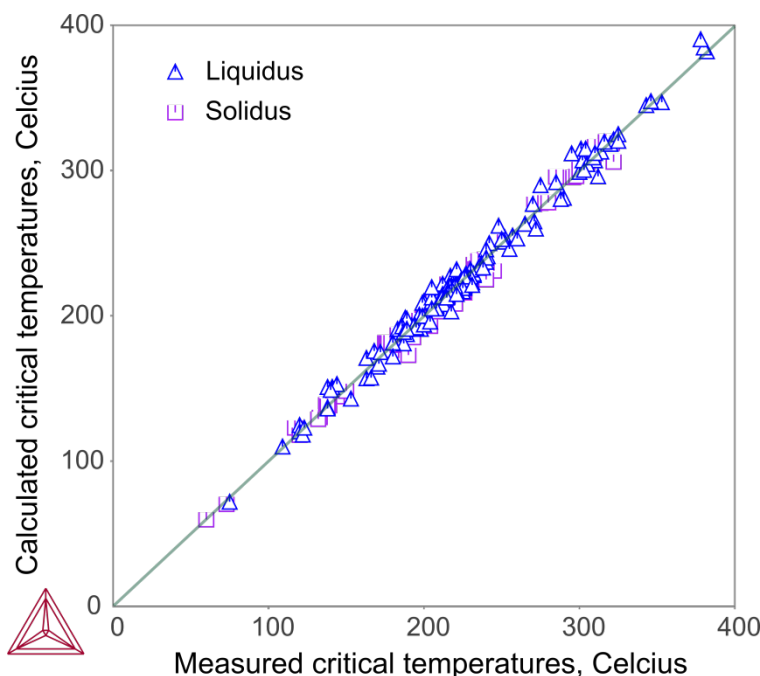


Fig.9: Comparison of experimental and calculated liquidus and solidus temperatures for various solder alloys [5, 7, 9, 11, 13, 16].

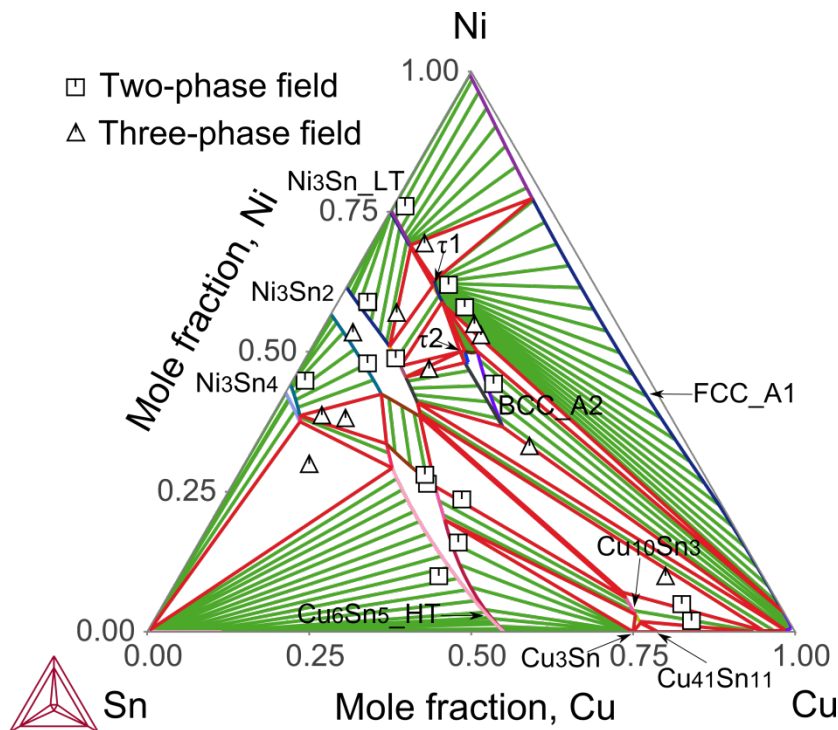


Fig.10: Calculated Cu-Ni-Sn isothermal section at 400 °C (experimental data are from Schmetterer et al. [17]).

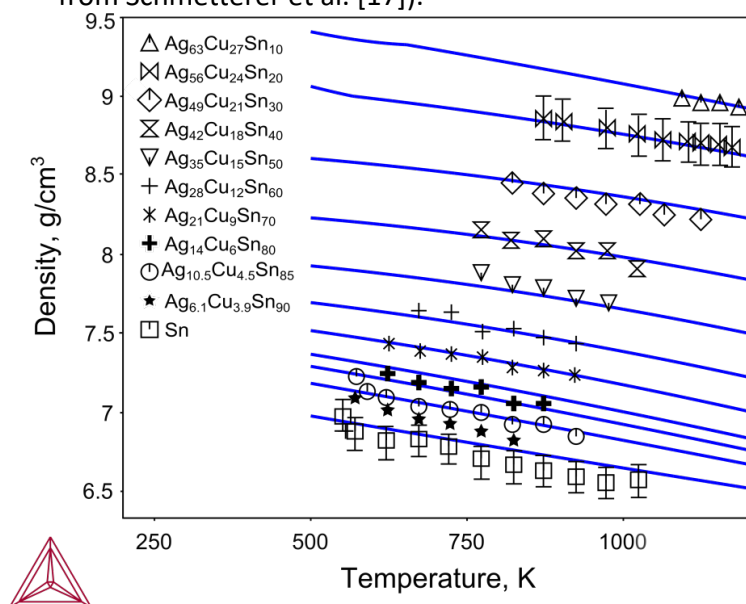


Fig.11: Calculated density of liquid Sn-Ag-Cu alloys. Symbols are the experimental values from Kaban et al. [18].

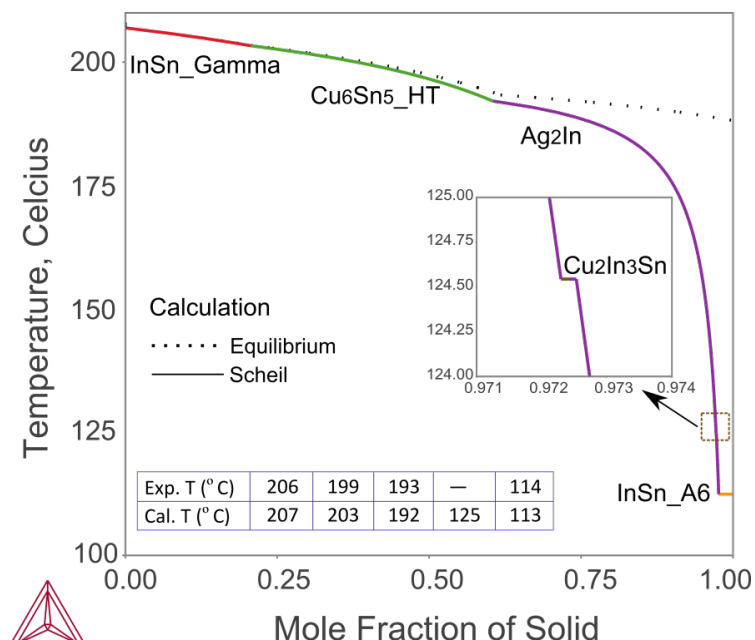


Fig.12: Equilibrium solidification and Scheil solidification simulations of a new type of solder patented in Korea with composition Sn-1.5Ag-0.7Cu-9.5In (wt.%) [19], compared with experimental results [20]. The calculated Scheil solidification path, including the solidified phases and the phase transformation temperatures, agrees well with the experimental data. It should be noted that the fraction of the $\text{Cu}_2\text{In}_3\text{Sn}$ phase was very small which is difficult to be detected in the experiment.

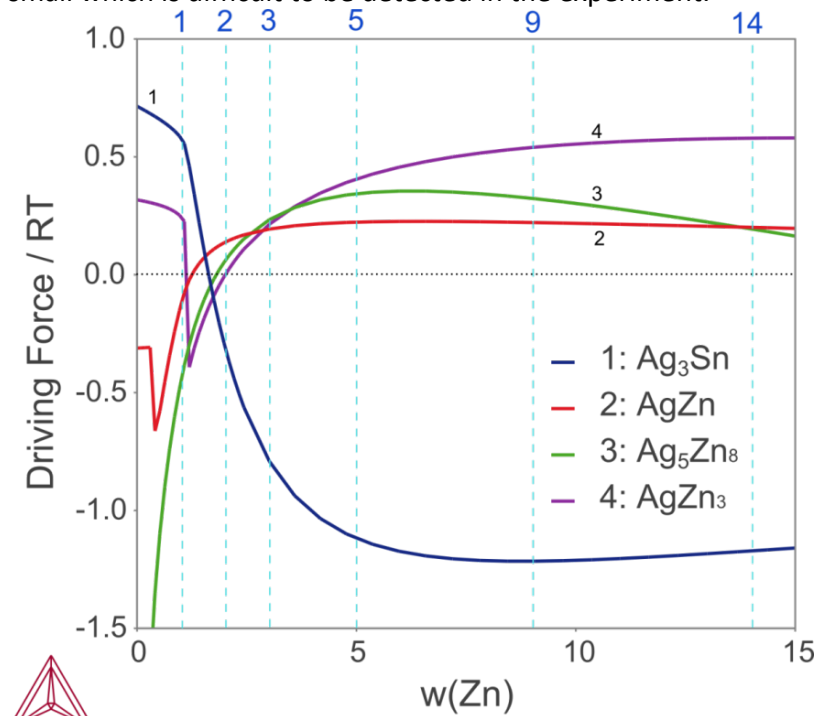


Fig.13: Calculated driving force of formation of the phases in the $\text{Sn}-x\text{Zn}/\text{Ag}$ ($x=1, 2, 3, 5, 9, 14$, wt.%) couples at $260\text{ }^{\circ}\text{C}$. This can be used to predict the intermetallic compound that forms first at the interface during soldering. The scheme for predicting the first formed compound was proposed by Lee [21] who suggested that the phase which forms first at the interface is the phase with the highest driving force of nucleation. The comparison between prediction and experiment is list in the table below.

Table 1 List of predicted first formed interface reaction product compared with experiments [22,23]. The calculations successfully predict for all compositions except for the Sn-3 wt.%Zn alloy. It should be noted that at w(Zn)=3%, the driving forces of Ag₅Zn₈ and AgZn are very close to each other, as shown in Fig. 13. In such a case, other effects, e.g., interfacial energy, misfit strain energy etc., should also be considered. Nevertheless, thermodynamic calculations are a very good starting point to obtain information on possible IMC formations and to understand the interface reactions.

Sn-xZn/Ag couple, 260 °C		
Alloy	Calculation	Experiment [22,23]
Sn-1 wt.%Zn	Ag ₃ Sn	Ag ₃ Sn
Sn-2 wt.%Zn	AgZn	AgZn
Sn-3 wt.%Zn	Ag ₅ Zn ₈	AgZn
Sn-5 wt.%Zn	AgZn ₃	AgZn ₃
Sn-9 wt.%Zn	AgZn ₃	AgZn ₃
Sn-14 wt.%Zn	AgZn ₃	AgZn ₃

References

1. C.S. Oh, J.H. Shim, B.J. Lee, D.N. Lee, J. Alloys Compd., 238 (1996) 155-166.
2. X.J. Liu, H.S. Liu, I. Ohnuma et al., J. Electron. Mater., 30 (2001) 1093-1103. The Cu₆Sn₅_HT phase was modified in TCSLD2, Thermo-Calc Software AB, Sweden (2014).
3. H.S. Liu, K. Ishida, Z.P. Jin, Y. Du, Intermetallics, 11 (2003) 987-994.
4. S. Mey, Z. Metallkd., 84 (1993) 451-455.
5. <http://www.senju-m.co.jp/en/product/ecosolder/>.
6. http://www.genma.co.jp/new_en/sds/.
7. <http://www.ametek-ecp.com/~media/ametek-ecp/files/productdownloadeddocuments/componentswire/coiningavailablealloys.pdf>.
8. <http://hirschmetals.com/solders-babbitt-alloys/>.
9. T. Siewert, S. Liu, D.R. Smith, J.C. Madeni, Properties of Lead-Free Solders, Release 4.0, NIST and Colorado School of Mines, (2002), http://www.msed.nist.gov/solder/NIST_LeadfreeSolder_v4.pdf
10. K.-W. Moon, W.J. Boettinger, JOM 56 (2004) 21-27.

11. K.J. Puttlitz and K.A. Stalter, Handbook of Lead-Free Solder Technology for Microelectronic Assemblies, Chapter 1 Overview of Lead-Free Solder Issues Including Selection, CRC Press (2004).
12. S. Hassam, E. Dichi, B. Legendre, J. Alloys Compd., 268 (1998) 199-206.
13. <http://www.indium.com/technical-documents/product-data-sheets/>.
14. G.P. Vassilev, E.S. Dobrev, J-C. Tedenac, J. Alloys Compd., 399 (2005) 118-125.
15. B. Smetana, S. Zlá, A. Kroupa et al., J. Therm. Anal. Calorim., 110 (2012) 369-378.
16. http://en.wikipedia.org/wiki/Solder#cite_note-hirshsold-17.
17. C. Schmetterer, H. Flandorfer, C. Luef, A. Kodentsov and H. Ipser, J. Electron. Mater., 38 (2009) 10-24.
18. I. Kaban, S. Gruner, W. Hoyer, J. Non-Cryst. Solids, 353 (2007) 3717-3721.
19. J.H. Lee, C.W. Lee, J.H. Kim, Quaternary Pb-free Solder Composition Incorporating Sn-Ag-Cu-In (Patentdocs 2008), <http://www.faqs.org/patents/app/20080292493>.
20. J. Sopoušek, M. Palcut et al., J. Electron. Mater., 39 (2010) 312-317.
21. B.-J. Lee, N.M. Hwang, H.M. Lee, Acta Metar., 45 (1997) 1867-1874.
22. C.-C. Jao, et al., Intermetallics, 16 (2008) 463-469.
23. Y. K. Jee, J. Yu, J. Electron. Mater., 39 (2010) 2286-2291.

Phases Included in TCSLD

The elements in phase names are rearranged according to the alphabetical order. Suffixes of “_HT” and “_LT” are used to designate the high-temperature and the low-temperature modifications of a phase, respectively.

In Console Mode, you can list phases and constituents in the Database module and the GES module. For some phases, supplementary information is included in the definitions. In order to show the information, it is recommended to use “List-System” with the option of “Constituents” in the Database module. In Graphical Mode you can find the phase information on the System Definer Configuration window, Phases and Phase Constituents tab.

GAS	TETRAGONAL_A6	ALA4_LT
LIQUID	AL2CU_C16	AL3AU8
FCC_A1	CU5ZN8_GAMMA_D83	AL4CA
FCC_L12	AG2GA	AL14CA13
BCC_A2	AG3GA2	AL3CA8
BCC_B2	AG15PT17	AL13CO4
CBCC_A12	AG3SB_LT CU3TI	AL3CO
CUBIC_A13	AG3SN_L60 CU3TI	AL5CO2_D811
BCT_A5	AGZN_ZETA	AL9CO2
HCP_A3	AL2AU_C1_CAF2	ALCU_GAMMA_HT
HCP_ZN	ALAU_B31	ALCU_ETA
DIAMOND_A4	ALAU2_HT	CU6SN5_HT_NIAS
ORTHORHOMBIC_GA	ALAU2_LT	ALCU_ZETA
RHOMBOHEDRAL_A7	ALAU4_HT	AL2CU3_DELTA

ALMG_BETA	CA5PB3	CU15SI4_EPSILON
ALMG_GAMMA	CAPB	CU9SI2_DELTA
ALMG_EPS	CAPB3	CU19SI6_ETA
AL3NI2_D513	CA5SN3	CU3SN
AL3NI_D011	CA36SN32	CU41SN11
AL3NI5	CA31SN20	CU10SN3
AL21PT8_TI116	CA7SN6	CU6SN5_LT
AL2PD5	CASN	GA6PT
AL3PD	CASN3	GA7PT3
ALPD	CD10CU3	GAPT
AL3PD5_OP16	CD8CU5	GA3PT5
AL4PD	CD3CU4	GAPT2
CO2SI_C23	CDCU2	GAPT3
AL21PT5	CO3GE	GENI3_HT
COSI_B20	CO5GE2	GE2NI5_HT
INSB_CF8	CO5GE3	GENI2
AU9IN4_GAMMA_D83	CO5GE3_ALPHA	GE3NI5_C2
AUIN_BETA	CO5GE7	GEPT3_MS16
AUIN_BETA_PRIME	COGE	GE2PT
AU7IN3	COGE2	GE3PT2
AUIN	COIN2	GE2PT3
AU10SN_D024	COIN3	GEPT2
AUPB3	COSB3_DELTA	IN9NI13
AUSB2_C2	CO3SI_HT	INNI_DELTA
AUSN2_OP24	CO2SI_HT	NI3SN_D019
AUSN_ZETA_PRIME	COSN_HP6	B2_INPD
AUSN4_OS20	COSN3_OS32	IN7PD3
AU5ZN8_GAMMA	COZN_LT	INPD2_BETA
EPSILON_HCP	COZN_HT	INPD3_ALPHA
AU3ZN_ALPHA1	COZN_GAMMA	INPD3_BETA
AU3ZN_ALPHA2	COZN_DELTA	IN7PT3
AU4ZN_ALPHA3	COZN_GAMMA1	INPT
AUZN3_GAMMA2	COZN_GAMMA2	IN5PT6
AUZN4_GAMMA3	CU9GA4_1	IN9PT13
AU5ZN3	CU9GA4_2	IN2PT3_ALPHA
AU11ZN14	CU9GA4_3	IN2PT3_BETA
AUZN	CUGA2	INPT2
AU15ZN85_EPSILON_PRIME	CUGA_THETA	INSN_GAMMA
BI3IN5_D81	CU3GE_ETA	MG2GA5
BIIN2_HP6	CU3GE_EPSILON	MGGA2
BIIN_B10	CU3GE_THETA	MGGA
INSN_A6	CU3IN_GAMMA	MG2GA
BI3NI	CU2IN_LT	MG5GA2
BI2PD	CU7IN3_DELTA	MG7ZN3
BIPD	CUPD	MGZN
BI3PD5	CU17SB3_HT	MG2ZN3
BIPD3	CU10SB3_HT	C14
BI3PT2	CU2SB	MG2ZN11
BIPT	CU11SB3	MN3SN2
C15_LAVES	CU33SI7_A13	NI3SB_HT

NI5SB2_THETA
NI3SI_HT
NI3SI2
NI5SI2
NI3SN4
NIZN_TP2
NIZN8_DELTA
PBDP3
PB3PD5_BETA
PB9PD13
PBPD
PBPT
PB4PT
PD3SB
PD20SB7
PD8SB3
PD5SB2
PD2SB
PD5SB3
PD21SI4
PD5SI
PD14SI3
PD9SI2
PD15SI4
PD2SI_ALPHA
PD2SI_BETA
PD39SI20
PD19SI10
PD3SN
PD20SN13
PDSN2
PD3SN2_ALPHA
PD3SN2_BETA
PD3SN2_GAMMA
PDZN_GAMMA
PDZN_BETA
PDZN2
PDZN_ETA
PT7SB
PT3SB
PT3SB2
PTSB
PTSB2
PT5SB
PT2SI_LT_ALPHA
PT2SI_HT_BETA
PT6SI5
PT5SI2
PT17SI8_HT_BETA
PT17SI8_LT_ALPHA

PT25SI7
PT2SN3
PT3SN
SBSN_B1_NACL
SB2SN3
SB9ZN11_GAMMA
SB19ZN31_ETA
SB4ZN6_ZETA
SB17ZN23_LT
SB17ZN23_HT
SBZN
AGINPD
AL3CU5ZN2
ALMGZN_PHI
T_PHASE
AUBISN
AUCOSN4
AU2CU2SN
AU4IN3SN3
AUNI2SN4
AUPT2SN4_TAO
CU77INSN23
CU2IN3SN
CU4MNSN
CUNI2SN
GA11GEPT7
GA3GEPT8
GAGEPT6
INNI6SN5

Models for the Phases included in TCSLD

GAS: G

: E- AG AG1/+1 AG1AL1 AG1AU1 AG1CU1 AG2 AL AL1/+1 AL1/-1
 AL1AU1 AL1CU1 AL1SB1 AL2 AU AU1/+1 AU1/-1 AU1CO1
 AU1CU1 AU1SI1 AU2 BI BI1/+1 BI2 BI3 BI4 CO CO1/+1 CO1/-1
 CO2 CU CU1/+1 CU1/-1 CU2 GE GE1/+1 GE2 IN IN1/+1 IN1SB1
 IN1SB2 IN2 NI NI1/+1 NI1/-1 NI2 PB PB1/+1 PB1/-1 PB2 PD
 PD1/+1 PT PT1/+1 PT1/-1 SB SB1/+1 SB1/-1 SB2 SB3 SB4 SI
 SI1/+1 SI1/-1 SI2 SI3 SN SN1/+1 SN2 ZN ZN1/+1 ZN1/-1 :

> Ideal GASEOUS mixture phase (Ideal EOS & Ideal Mixing).

LIQUID: L

:AG AL AU BI CO CU GE IN NI PB PD PT PT SN SB SI SN ZN :

> Metallic LIQUID solution phase

FCC_A1

2 SUBL : 1 : 1 :

:AG AL AU BI CO CU GE IN NI PB PD PT SB SI SN ZN: VA:

> Disordered FCC_A1 solution phase, e.g. (Ag), (Au), (Cu), (Ni)
 etc.

FCC_L12

3 SUBL : 0.75 : 0.25 : 1 :

: AG AL AU BI CO CU GE IN NI PB PD PT SB SI SN ZN:AG AL AU BI
 CO CU GE IN NI PB PD PT SB SI SN ZN : VA :

> Solution of ordered FCC_L12, having Gibbs energy contribution
 from FCC_A1

BCC_A2

2 SUBL : 1 : 3 :

:AG AL AU BI CO CU GE IN NI PB PD PT SB SI SN ZN VA : VA :

> Disordered BCC_A2 solution phase

BCC_B2

3 SUBL: 0.5 : 0.5 : 3 :

:AG AL AU BI CO CU GE IN NI PB PD PT SB SI SN ZN VA : AG AL AU
 BI CO CU GE IN NI PB PD PT SB SI SN ZN VA : VA :

> Solution of ordered BCC_B2, having Gibbs energy contribution
 from BCC_A2

CBCC_A12

2 SUBL: 1 : 1 :

: CU MN NI SI SN : VA :

> Disordered CBCC_A12 solution phase; also for pure Mn

CUBIC_A13

: AG AL CO CU NI SI :

> CUBIC_A13 solution phase

BCT_A5

: AG AL BI CU IN NI PB SB SI SN ZN :

> Disordered BCT solution phase; also for pure Sn

HCP_A3	2 SUBL: 1 : 0.5 :
: AG AL AU BI CO CU GE IN NI PB PD PT SB SI SN ZN : VA :	
> <i>Disordered HCP_A3 solution phase; also for pure Co</i>	
HCP_ZN	2 SUBL: 1 : 0.5 :
: AG AL AU BI CO CU GE IN NI PB PD PT SB SI SN ZN : VA :	
> <i>Disordered HCP_ZN solution phase; also for pure Zn</i>	
DIAMOND_A4	
: AG AU GA GE SB SI SN :	
> <i>Disordered DIAMOND solution phase; also for pure Ge and Si</i>	
ORTHORHOMBIC_GA	
: GA :	
RHOMBOHEDRAL_A7	
: AG AU BI GE IN PB SB SN ZN :	
> <i>Disordered RHOMBOHEDRAL solution phase; also for pure Bi and Sb</i>	
TETRAGONAL_A6	
: AL BI IN PB SB SN ZN :	
> <i>Disordered TETRAGONAL solution phase; also for pure In</i>	
AL2CU_C16	2 SUBL : 0.33333 : 0.66667 :
: AG AL AU CO CU PD : AL IN PB SN :	
> <i>AgIn₂, Al₂Cu, AuPb₂, CoSn₂, Pb₂Pd</i>	
CU5ZN8_GAMMA_D83	3 SUBL : 4 : 1 : 8 :
: AG AL IN NI SI ZN : AG AL CU IN NI SI ZN : AG CU IN SN ZN :	
> <i>Ag₉In₄, Ag₅Zn₈, Al₄Cu₉, Cu₅Zn₈, In₇Ni₃, Ni₅Zn₈</i>	
AG2GA	3 SUBL : 2 : 2 : 1 :
: AG : AG GA VA :	
AG3GA2	3 SUBL : 2 : 3 : 2 : : AG : GA :
AG15PT17	2 SUBL : 0.46875 : 0.53125 :
: AG : PT :	

AG3SB_LT_CU3TI	2 SUBL : 0.75 : 0.25 :
: AG SB : AG SB :	
> <i>Metastable Ag₃Sb_LT (Cu₃Ti structure) phase</i>	
AG3SN_L60_CU3TI	2 SUBL : 0.75 : 0.25 :
: AG AU CO CU NI SB ZN : AG AU BI IN NI SB SN :	
> <i>Ag₃Sb, Ag₃Sn, Au₃In, Cu₃Sb, Ni₃Sb, τ₁ in Cu-Ni-Sn</i>	
AGZN_ZETA	
: AG PB SN ZN :	
> <i>AgZn_Zeta</i>	
AL2AU_C1_CAF2	2 SUBL : 0.66667:0.33333:
: AG AL AU CU GA GE IN MG SB SI SN : AL AU CO NI PB PT SN :	
> <i>Al₂Au, Al₂Pt, AuIn₂, CoSi₂, In₂Pt, Mg₂Pb, Mg₂Sn, NiSi₂, PtSn₂</i>	
ALAU_B31	2 SUBL : 0.5 : 0.5 :
: AL GA GE PD SI SN : AU CU NI PD PT VA :	
> <i>AlAu, NiGe, GePt, NiSi, PdSi, PdSn, PtSi</i>	
ALAU2_HT	2 SUBL : 1 : 2 :
: AL AU : AL AU :	
ALAU2_LT	2 SUBL : 1 : 2 :
: AL : AL AU CU:	
> <i>AlAu₂_LT</i>	
ALAU4_HT	2 SUBL : 1 : 4 :
: AL AU : AU :	
ALAU4_LT	2 SUBL : 0.2 : 0.8 :
: AL : AG AU :	
> <i>AlAu₄_LT</i>	
AL4CA	2 SUBL : 4 : 1 :
: AL : CA :	
> <i>Al₄CA</i>	
AL14CA13	2 SUBL : 14 : 13 :
: AL : CA :	
AL3CA8	2 SUBL : 3 : 8 :
: AL : CA :	
AL3AU8	2 SUBL : 0.27273: 0.72727:
: AL : AU :	
AL13CO4	2 SUBL : 13 : 4 :
: AL : CO :	

AL3CO : AL : CO :	2 SUBL : 3 : 1 :
AL5CO2_D811 : AL : CO :	2 SUBL : 5 : 2 :
AL9CO2 : AL : CO :	2 SUBL : 9 : 2 :
ALCU_GAMMA_HT : AL ZN : AL CU ZN : AG CU : > <i>Al₄Cu₉</i>	3 SUBL : 4 : 1 : 8 :
ALCU_ETA : AL CU : AG CU ZN : > <i>AlCu_Eta</i>	2 SUBL : 0.5 : 0.5 :
CU6SN5-HT_NIAS : AG AU CO CU NI PD PT VA : AG AL BI CU GE IN NI PB SB SI SN : CO CU NI PD VA : > <i>AlCu_D8₁, AuSn_Delta, BiNi, CoSb_Beta, Co₃Sn₂, Cu₂In-HT,</i> <i>Cu₆Sn₅-HT, Ge₃Ni₅-HT, InNi₂-HT, Mn(2-x)Sn, NiSb, Ni₃Si₂-HT,</i> <i>Ni₃Sn₂, Pb₃Pd₅-Gamma, PbPt, PdSb, Pd₂Sn-HT, PtSn</i>	3 SUBL : 1 : 1 : 1 :
ALCU_ZETA : AG CU : AL IN : > <i>AlCu_Zeta, Cu₁₁In₉</i>	2 SUBL : 0.55 : 0.45 :
AL2CU3_DELTA : AL : AG CU : > <i>Al₂Cu₃</i>	2 SUBL : 0.4 : 0.6 :
ALMG_BETA : MG : AL ZN : 	2 SUBL : 89 : 140 :
ALMG_EPS : MG : AL ZN : 	2 SUBL : 23 : 30 :
ALMG_GAMMA : MG : AL MG ZN : AL MG ZN : 	3 SUBL : 5 : 12 : 12 :
AL3NI2_D513 : AG AL AU GA GE IN PD SN : AL AU IN NI PD PT : IN NI VA : > <i>Al₃Ni₂, Al₃Pd₂, Al₃Pt₂, Au₃In₂, In₃Ni₂, In₃Pd₂, In₃Pt₂</i>	3 SUBL : 0.6 : 0.4 : 0.2 :

AL3NI_D011	2 SUBL : 0.75 : 0.25 :
: AL PD PT : NI SI :	
> <i>The Al₃Ni, Pd₃Si, Pt₃Si HT</i>	
AL3NI5	2 SUBL : 0.375 : 0.625 :
: AL : NI :	
AL21PT8_TI116	2 SUBL : 21 : 8 :
: AL : PD PT :	
> <i>Al₂₁Pd₈, Al₂₁Pt₈</i>	
AL2PD5	2 SUBL : 2 : 5 :
: AL : AL PD :	
AL3PD	2 SUBL : 3 : 1 :
: AL : PD :	
ALPD	2 SUBL : 1 : 1 :
: AL PD : PD VA :	
AL3PD5_OP16	2 SUBL : 3 : 5 :
: AL IN: PD PT :	
> <i>Al₃Pd₅, Al₃Pt₅, In₃Pd₅</i>	
AL4PD	2 SUBL : 4 : 1 :
: AL : PD :	
CO2SI_C23	2 SUBL : 1 : 2 :
: AL CO IN PB PD SI SN ZN : AL CA CO NI PD PT SI :	
> <i>AlPd₂, AlPt₂, Ca₂Sn, Co₂Si, InPd₂, Ni₂Si, Pd₂Sn, Pd₂Zn</i>	
AL21PT5	2 SUBL : 0.80769 : 0.19231 :
: AL : PT :	
COSI_B20	2 SUBL : 0.5 : 0.5 :
: AL CO SI : CO PT SI :	
> <i>AlPt, CoSi</i>	

INSB_CF8	2 SUBL : 0.5 : 0.5 :
: AL AU IN : SB :	
> <i>AISb, InSb</i>	
AU9IN4_GAMMA_D83	4 SUBL: 0.61539 : 0.07692 : 0.23077 : 0.07692 :
: AU CU : AL AU CU IN : AU AL CU IN SI : AL IN SI SN :	
> <i>Au9In4</i>	
AUIN_BETA	2 SUBL: 0.785 : 0.215 :
: AU : IN :	
AUIN_BETA_PRIME	2 SUBL : 0.77778: 0.22222:
: AU : IN :	
AU7IN3	2 SUBL : 0.7 : 0.3 :
: AU : IN :	
AUIN	2 SUBL : 0.5 : 0.5 :
: AU : IN SB SN :	
> <i>AuIn</i>	
AU10SN_D024	
: AU GE IN SN :	
> <i>The AuIn_Alpha1, AuSn_Beta</i>	
AUPB3	2 SUBL : 0.25 : 0.75 :
: AU : PB :	
AUSB2_C2	2 SUBL : 0.33333 : 0.66667 :
: AU CO NI PD : BI IN SB SN :	
> <i>AuSb2, CoSb2, NiSb2, PdSb2</i>	
AUSN2_OP24	2 SUBL : 0.33333 : 0.66667 :
: AU CU PT : BI SN :	
> <i>AuSn2, Bi2Pt</i>	
AUSN_ZETA_PRIME	2 SUBL : 0.84 : 0.16 :
: AU : IN SN :	
> <i>AuSn_Zeta_Prime</i>	

AUSN4_OS20	2 SUBL : 0.2 : 0.8 :
: AU CU NI PD PT : IN PB PD SN :	
> <i>AuSn₄, PdSn₄, PtSn₄</i>	
AU5ZN8_GAMMA	4 SUBL : 2 : 2 : 3 : 6 :
: AU NI ZN : AU NI SN ZN : AU NI SN ZN : SN ZN :	
> <i>Au₅Zn₈</i>	
EPSILON_HCP	
: AG AU BI CU IN PB SN ZN :	
> <i>AuZn₉</i>	
AU3ZN_ALPHA1	3 SUBL : 3 : 1 : 1 :
: AU : AU ZN : ZN :	
AU3ZN_ALPHA2	2 SUBL : 0.75 : 0.25 :
: AU : ZN :	
AU4ZN_ALPHA3	3 SUBL : 18 : 7 : 3 :
: AU : AU ZN : ZN :	
AUZN3_GAMMA2	2 SUBL : 1 : 3 :
: AU : ZN :	
AUZN4_GAMMA3	3 SUBL : 0.12 : 0.16 : 0.72 :
: AU : AU ZN : ZN :	
AU5ZN3	2 SUBL : 5 : 3 :
: AU : ZN :	
AU11ZN14	2 SUBL : 11 : 14 :
: AU : ZN :	
AUZN	2 SUBL : 0.5 : 0.5 :
: AU ZN : AU ZN :	
AU15ZN85_EPSILON_PRIME	2 SUBL : 0.15 : 0.85 :
: AU : ZN :	
BI3IN5_D81	2 SUBL : 0.625 : 0.375 :
: IN : BI SN :	
> <i>Bi₃In₅</i>	
BIIN2_HP6	3 SUBL : 1 : 1 : 1 :
: IN NI : IN NI SN : BI IN SN :	
> <i>BiIn₂, InNi₂_LT</i>	
BIIN_B10	2 SUBL : 0.5 : 0.5 :
: BI SN : IN :	
> <i>BiIn</i>	
INSN_A6	
: BI IN PB SB SN :	
> <i>InSn_A6 solution phase</i>	

BI3NI : BI : NI :	2 SUBL : 0.75 : 0.25 :
BI2PD : BI : PD :	2 SUBL : 0.666 : 0.334 :
BIPD : BI : PD :	2 SUBL : 0.5 : 0.5 :
BI3PD5 : BI PD : VA :	2 SUBL : 1 : 1 :
BIPD3 : BI : PD :	2 SUBL : 0.25 : 0.75 :
BI3PT2 : BI : PT :	2 SUBL : 3 : 2 :
BIPT : BI : PT :	2 SUBL : 1 : 1 :
C15_LAVES : AG AL AU CA CU : AL BI CA CU PB : > <i>Au₂Bi, Au₂Pb, Al₂Ca</i>	2 SUBL : 0.66667 : 0.33333 :
CA5SN3 : CA : SN :	2 SUBL : 0.625 : 0.375 :
CA36SN23 : CA : SN :	2 SUBL : 0.61 : 0.39 :
CA31SN20 : CA : SN :	2 SUBL : 0.608 : 0.392 :
CA7SN6 : CA : SN :	2 SUBL : 0.53846 : 0.46154 :
CASN : CA : SN :	2 SUBL : 0.5 : 0.5 :
CASN3 : CA : SN :	2 SUBL : 0.25 : 0.75 :
CD10CU3 : CD : CU :	2 SUBL : 0.7692 : 0.2308 :
CD8CU5 : CU : CD CU : CU : CU CD :	4 SUBL : 2 : 3 : 2 : 6 :
CD3CU4 : CD : CU :	2 SUBL : 0.4286 : 0.5714 :
CDCU2 : CD : CU :	2 SUBL : 1 : 2 :
CO3GE : CO : GE :	2 SUBL : 0.75 : 0.25 :
CO5GE2 : CO : GE :	2 SUBL : 0.714 : 0.286 :

CO5GE3 : CO VA : CO : CO GE :	3 SUBL : 0.125 : 0.5 : 0.375 :
CO5GE3_ALPHA : CO : GE :	2 SUBL : 0.625 : 0.375 :
CO5GE7 : CO : GE :	2 SUBL : 0.417 : 0.583 :
COGE : CO GE : CO GE :	2 SUBL : 0.5 : 0.5 :
COGE2 : CO : GE :	2 SUBL : 0.333 : 0.667 :
COIN2 : CO : IN :	2 SUBL : 1 : 2 :
COIN3 : CO : IN :	2 SUBL : 1 : 3 :
CA5PB3 : CA : PB :	2 SUBL : 0.625 : 0.375 :
CAPB : CA : PB :	2 SUBL : 0.5 : 0.5 :
CAPB3 : CA : PB :	2 SUBL : 0.25 : 0.75 :
COSB3_DELTA : CO NI : SB : <i>> CoSb₃_Delta</i>	2 SUBL : 0.25 : 0.75 :
CO3SI_HT : CO CU NI SB SI SN : CO CU NI SN : CO CU NI : <i>> Co₃Si_HT</i>	3 SUBL : 0.25 : 0.25 : 0.5 :
CO2SI_HT : CO SI : CO SI :	2 SUBL : 0.6667 : 0.3333 :
COSN_HP6 : CO NI : IN SN : <i>> CoSn, InNi</i>	2 SUBL : 0.5 : 0.5 :
COSN3_OS32 : CO PB PD : PD SN : <i>> CoSn₃, PdSn₃</i>	2 SUBL : 0.25 : 0.75 :
COZN_LT : CO ZN : VA :	2 SUBL : 1 : 1 :
COZN_HT : CO ZN : VA :	2 SUBL : 1 : 1 :
COZN_GAMMA : CO ZN : VA :	2 SUBL : 1 : 1 :

COZN_DELTA : CO : ZN :	2 SUBL : 0.117647 : 0.882353 :
COZN_GAMMA1 : CO : ZN :	2 SUBL : 0.125 : 0.875 :
COZN_GAMMA2 : CO : ZN :	2 SUBL : 7.14286E-2 : 0.928571 :
CU9GA4_1 : CU : CU GA : CU GA : GA :	4 SUBL : 6 : 3 : 3 : 1 :
CU9GA4_2 : CU : CU VA : CU GA : GA :	4 SUBL : 3 : 3 : 3 : 4 :
CU9GA4_3 : CU VA : CU GA : GA :	3 SUBL : 6 : 3 : 4 :
CUGA2 : CU : GA :	2 SUBL : 1 : 2 :
CUGA_THETA : CU : GA :	2 SUBL : 0.778 : 0.222 :
CU3GE_ETA : CU : GE :	2 SUBL : 0.75 : 0.25 :
CU3GE_EPSILON : CU : GE :	2 SUBL : 0.765 : 0.235 :
CU3GE_THETA : CU : GE :	2 SUBL : 0.735 : 0.265 :
CU3IN_GAMMA : AG CU : AG CU IN : IN SN : <i>> Cu₃In₃ Gamma</i>	3 SUBL : 0.654 : 0.115 : 0.231 :
CU2IN_LT : CU : IN :	2 SUBL : 0.64 : 0.36 :
CU7IN3_DELTA : CU : IN SN : <i>> Cu₇In₃ Delta</i>	2 SUBL : 0.7 : 0.3 :
CUPD : CU PD : CU PD : VA :	3 SUBL : 0.5 : 0.5 : 1 :
CU17SB3_HT : CU : SB :	2 SUBL : 0.85 : 0.15 :
CU10SB3_HT : CU : SB :	2 SUBL : 0.77 : 0.23 :
CU2SB : CU : SB :	2 SUBL : 0.67 : 0.33 :
CU11SB3 : CU : SB :	2 SUBL : 0.8 : 0.2 :

CU33Si7_A13 : CO CU ZN : SI ZN : > Cu ₃₃ Si ₇ _Gamma	2 SUBL : 0.835821 : 0.164179 :
CU15Si4_EPSILON : CU ZN : SI : > Cu ₁₅ Si ₄ _Epsilon	2 SUBL : 0.789474 : 0.210526 :
CU9Si2_DELTA : CU ZN : SI : > Cu ₉ Si ₂ _Delta	2 SUBL : 0.825 : 0.175 :
CU19Si6_ETA : CU ZN : SI : > Cu ₁₉ Si ₆ _Eta	2 SUBL : 0.76 : 0.24 :
CU3Sn : AU CU : CU IN SB SN : > Cu ₃ Sn	2 SUBL : 0.75 : 0.25 :
CU41Sn11 : CU : IN SN : > Cu ₄₁ Sn ₁₁	2 SUBL : 0.788 : 0.212 :
CU10Sn3 : CU NI : SN : > Cu ₁₀ Sn ₃	2 SUBL : 0.769 : 0.231 :
CU6Sn5_LT : CU : SN :	2 SUBL : 0.545 : 0.455 :
GA6PT : GA GE : PT :	2 SUBL : 0.857 : 0.143:
GA7PT3 : GA GE : PT :	2 SUBL : 0.7 : 0.3 :
GAPT : GA GE : PT :	2 SUBL : 0.5 : 0.5 :
GA3PT5 : GA GE : PT :	2 SUBL : 0.375 : 0.625 :
GAPT2 : GA GE : PT:	2 SUBL : 0.333 : 0.667 :
GAPT3 : GA PT GE : GA PT :	2 SUBL : 0.25 : 0.75 :
GENI3_HT : NI : GE :	2 SUBL : 0.744 : 0.256 :
GE2NI5_HT : NI : GE :	2 SUBL : 0.72 : 0.28 :

GENI2 : NI : GE :	2 SUBL : 0.665 : 0.335 :
GE3NI5_C2 : NI PD : GE PB : <i>> Ge₃Ni₅, Pb₃Pd₅</i>	2 SUBL : 0.625 : 0.375 :
GEPT3_MS16 : GA GE PT SI : NI PT : <i>> GePt₃, Ni₂₅Si₉, Pt₃Si_LT</i>	2 SUBL : 0.25 : 0.75 :
GE2PT : GA GE : PT :	2 SUBL : 0.66667 : 0.33333 :
GE3PT2 : GA GE : PT :	2 SUBL : 0.6 : 0.4 :
GE2PT3 : GA GE : PT :	2 SUBL : 0.4 : 0.6 :
GEPT2 : GA GE : PT :	2 SUBL : 0.333 : 0.667 :
IN9NI13 : NI VA : IN SN : NI : <i>> In₉Ni₁₃</i>	3 SUBL : 1 : 1 : 1 :
INNI_DELTA : NI VA : IN NI :	2 SUBL : 1 : 1 :
MG7ZN3 : MG : ZN :	2 SUBL : 51 : 20 :
MGZN : MG : AL CU ZN :	2 SUBL : 12 : 13 :
MG2ZN3 : MG : AL CU ZN :	2 SUBL : 2 : 3 :
C14_LAVES : AL MG ZN : AL MG ZN : <i>> MgZn₂</i>	2 SUB : 2 : 1 :
MG2ZN11 : AL ZN : ZN : MG : <i>> Mg₂Zn₁₁</i>	3 SUBL : 5 : 6 : 2 :
MG5GA2 : MG : GA :	2 SUBL : 0.7143 : 0.2857 :
MG2GA : MG : GA :	2 SUBL : 0.6667 : 0.3333 :
MGGA : MG : GA :	2 SUBL : 0.5 : 0.5 :
MGGA2 : MG : GA :	2 SUBL : 0.3333 : 0.6667 :

MG2GA5 : MG : GA :	2 SUBL : 0.2857 : 0.7143 :
MN3SN2 : MN : SN :	2 SUBL : 3 : 2 :
NI3SN_D019 : AU CO CU NI SN : IN NI SI SN : <i>> InNi₃, Ni₃Sn_LT</i>	2 SUBL : 0.75 : 0.25 :
B2_INPD : AG IN PD : VA PD : <i>> InPd</i>	2 SUBL : 0.5 : 0.5 :
IN7PD3 : IN : PD :	2 SUBL : 0.71 : 0.29 :
INPD2_BETA : IN : PD :	2 SUBL : 0.34 : 0.66 :
INPD3_ALPHA : IN : AG PD : <i>> InPd₃_LT</i>	2 SUBL : 0.25 : 0.75 :
INPD3_BETA : IN : PD :	2 SUBL : 0.26 : 0.74 :
IN7PT3 : IN : PT :	2 SUBL : 7 : 3 :
INPT : IN PT : IN PT :	2 SUBL : 1 : 1 :
IN5PT6 : IN PT : IN PT :	2 SUBL : 5 : 6 :
IN9PT13 : IN : IN PT :	2 SUBL : 9 : 13 :
IN2PT3_ALPHA : IN : PT :	2 SUBL : 2 : 3 :
IN2PT3_BETA : IN PT : IN PT :	2 SUBL : 2 : 3 :
INPT2 : IN : PT :	2 SUBL : 1 : 2 :
INSN_GAMMA : BI IN PB SB SN : <i>> InSn_Gamma</i>	
NI3SB_HT : SB : CO NI VA : NI VA : <i>> Ni₃Sb_HT</i>	3 SUBL : 0.25 : 0.5 : 0.25 :

NI5SB2_THETA : CO NI : NI SB : > <i>Ni₅Sb₂</i>	2 SUBL : 0.7143 : 0.2857 :
NI3SI_HT : NI : SI :	2 SUBL : 3 : 1 :
NI3SI2 : NI : SI :	2 SUBL : 3 : 2 :
NI5SI2 : NI : SI :	2 SUBL : 5 : 2 :
NI3SN4 : CU NI : IN NI SN : IN SN : > <i>Ni₃Sn₄</i>	3 SUBL : 0.25 : 0.25 : 0.5 :
NIZN_TP2 : CU NI PD ZN : NI PD ZN : > <i>NiZn, PdZn</i>	2 SUBL : 0.5 : 0.5 :
NIZN8_DELTA : NI : ZN :	2 SUBL : 1 : 8 :
PBDP3 : PD : PB PD :	2 SUBL : 0.75 : 0.25 :
PB3PD5_BETA : PD : PB : PD VA :	3 SUBL : 1 : 1 : 1 :
PB9PD13 : PD : PB :	2 SUBL : 0.59 : 0.41 :
PBPD : PD : PB :	2 SUBL : 1 : 1 :
PBPT : AL NI PB PT SI : AL NI PT : > <i>PbPt</i>	2 SUBL : 0.25 : 0.75 :
PB4PT : PB : PT :	2 SUBL : 0.8 : 0.2 :
PD3SB : PD SB : SB :	2 SUBL : 3 : 1 :
PD20SB7 : PD : SB :	2 SUBL : 20 : 7 :
PD8SB3 : PD : SB :	2 SUBL : 8 : 3 :
PD5SB2 : PD : SB :	2 SUBL : 5 : 2 :
PD2SB : PD : SB :	2 SUBL : 2 : 1 :

PD5SB3 : PD SB : PD SB :	2 SUBL : 5 : 3 :
PD21SI4 : PD SI : SI :	2 SUBL : 21 : 4 :
PD5SI : PD : SI :	2 SUBL : 5 : 1 :
PD14SI3 : PD : SI :	2 SUBL: 14 : 3 :
PD9SI2 : PD : SI :	2 SUBL : 9 : 2 :
PD15SI4 : PD : SI :	2 SUBL : 15 : 4 :
PD2SI_ALPHA : PD SI : SI :	2 SUBL : 2 : 1 :
PD2SI_BETA : PD SI : SI :	2 SUBL : 2 : 1 :
PD39SI20 : PD : SI :	2 SUBL : 39 : 20 :
PD19SI10 : PD : SI :	2 SUBL : 19 : 10 :
PD3SN : PD SN : PD SN :	2 SUBL : 0.75 : 0.25 :
PD20SN13 : PD SN : PD SN :	2 SUBL: 0.6 : 0.4 :
PDSN2 : PD SN : SN :	2 SUBL : 0.333 : 0.667 :
PD3SN2_ALPHA : PD : SN :	2 SUBL : 0.6 : 0.4 :
PD3SN2_BETA : PD : SN :	2 SUBL : 3 : 2 :
PD3SN2_GAMMA : PD : SN :	2 SUBL : 0.59 : 0.41 :
PDZN_GAMMA : PD ZN : PD ZN :	2 SUBL : 2 : 9 :
PDZN_BETA : PD ZN : PD ZN :	2 SUBL : 1 : 1 :
PDZN2 : PD : ZN :	2 SUBL : 1 : 2 :
PDZN_ETA : PD : ZN :	2 SUBL : 0.09 : 0.91 :
PT7SB : PT : SB :	2 SUBL : 0.865 : 0.125 :

PT3SB : PT : SB :	2 SUBL : 0.75 : 0.25 :
PT3SB2 : PT : SB :	2 SUBL : 0.6 : 0.4 :
PTSB : PT : SB :	2 SUBL : 0.5 : 0.5 :
PTSB2 : PT : SB :	2 SUBL : 0.333 : 0.667 :
PT5SB : PT SB : PT SB :	2 SUBL : 0.833 : 0.167 :
PT2SI_LT_ALPHA : PT : SI :	2 SUBL : 0.66667 : 0.33333 :
PT2SI_HT_BETA : PT : SI :	2 SUBL : 0.66667 : 0.33333 :
PT6SI5 : PT : SI :	2 SUBL : 0.545 : 0.455 :
PT5SI2 : PT : SI :	2 SUBL : 0.714 : 0.286 :
PT17SI8_HT_BETA : PT : SI :	2 SUBL : 0.68 : 0.32 :
PT17SI8_LT_ALPHA : PT : SI :	2 SUBL : 0.68 : 0.32 :
PT25SI7 : PT : SI :	2 SUBL : 0.782 : 0.218 :
PT2SN3 : PT : SN :	2 SUBL : 0.4 : 0.6 :
PT3SN : PT : SN :	2 SUBL : 0.75 : 0.25 :
SBSN_B1_NACL : BI GE IN SB SN : BI GE IN PB SB SN : > <i>SbSn</i>	2 SUBL : 0.5 : 0.5 :
SB2SN3 : SB : AG SN : > <i>Sb₂Sn</i>	2 SUBL : 0.4 : 0.6 :
SB9ZN11_GAMMA : SB : ZN :	2 SUBL : 0.45 : 0.55 :
SB19ZN31_ETA : SB : ZN :	2 SUBL : 0.38 : 0.62 :
SB4ZN6_ZETA : SB : ZN :	2 SUBL : 0.4 : 0.6 :
SB17ZN23_LT : SB : ZN :	2 SUBL : 0.425 : 0.575 :

SB17ZN23_HT : SB : ZN :	2 SUBL : 0.425 : 0.575 :
SBZN : SB : ZN :	2 SUBL : 0.5 : 0.5 :
AGINPD : AG : IN : PD : > This is the AgInPd ternary phase	3 SUBL : 0.156 : 0.26 : 0.584:
AL3CU5ZN2 : AL CU : AL : CU : ZN : > This is the Al ₃ Cu ₅ Zn ₂ ternary phase	4 SUBL : 1 : 4 : 4 : 1 :
ALMGZN_PHI : MG : AL ZN : > a Al-Mg-Zn ternary phase known as PHI	2 SUBL : 6 : 5 :
T_PHASE : MG : AL MG : AL MG ZN : AL : > Solution (Al ₁ Zn) ₄₉ Mg ₃₂ , stable in Al-Mg-Zn	4 SUBL : 26 : 6 : 48 : 1 :
AUBISN : AU : SN : BI SN : > This is the AuBiSn ternary phase	3 SUBL : 0.485 : 0.11 : 0.405:
AUCOSN4 : AU : CO : SN : > This is the AuCoSn ₄ ternary phase	3 SUBL : 0.150002 : 0.249925 : 0.60006 :
AU2CU2SN : AU : CU : SN : > This is the Au ₂ Cu ₂ Sn ternary phase	3 SUBL : 0.4 : 0.4 : 0.2 :
AU4IN3SN3 : AU : IN SN : IN SN : > This is the Au ₄ In ₃ Sn ₃ ternary phase	3 SUBL : 0.4 : 0.3 : 0.3 :
AUNI2SN4 : SN : AU : NI : > This is the AuNi ₂ Sn ₄ ternary phase	3 SUBL : 0.571 : 0.143 : 0.286 :
AUPT2SN4_TAO : AU : PT : SN : > This is the AuPt ₂ Sn ₄ ternary phase	3 SUBL : 1 : 2 : 4 :
CU77INSN23 : CU : IN SN : > This is the Cu ₇₇ InSn ₂₃ ternary phase	2 SUBL : 0.77 : 0.23 :

CU2IN3SN : CU : IN : SN :	3 SUBL : 0.333 : 0.5 : 0.167:
> This is the Cu ₂ In ₃ Sn ternary phase	
CU4MNSN : CU : SN : MN :	3 SUBL : 0.6666 : 0.1667 : 0.1667: :
CUNI2SN : CU : NI : SN :	3 SUBL : 0.233 : 0.5 : 0.267 :
> Cu-Ni-Sn, τ ₂	
GA11GEPT7 : GA : GE : PT :	3 SUBL : 0.579 : 0.053 : 0.368 :
GA3GEPT8 : GA GE : PT :	2 SUBL : 0.333 : 0.667 :
GAGEPT6 : GA GE : PT :	2 SUBL : 0.25 : 0.75 :
INNI6SN5 : NI : IN SN :	2 SUBL: 1 : 1 :
> This is the InNi ₆ Sn ₅ ternary phase	

Revision History

MAJOR UPDATES FROM TCSLD3.1.1 TO TCSLD3.2

- Ca is added together with some Ca-related systems: Al-Ca, Ca-Sn, Ca-Pb, Ca-Pb-Sn
- Added the Mg-Sn and Mg-Pb binary systems.
- Added the Bi-Cu-Sb ternary system.
- Updated the Ag-Au-Cu system.

MAJOR UPDATES FROM TCSLD3.1 TO TCSLD3.1.1

Thermodynamic assessments of the Ga-Ge and Ga-Pt binary systems are added.

Thermodynamic descriptions of the Ag-Cu-Pd and Ga-Ge-Pt ternary systems are included.

MAJOR UPDATES FROM TCSLD3.0 TO TCSLD3.1

Volume data for the liquid phase are updated for some Ag/Bi/Cu/In-containing binary systems and a few Ag-containing ternary systems.

Thermodynamic description of the Au-Pb-Sn ternary system is added.

MAJOR UPDATES FROM TCSLD2 TO TCSLD3.0

Volume data, including molar volume and thermal expansion, have been added in TCSLD3. This allows for the calculations of volume fraction of phases, density, thermal expansion and lattice parameters etc.

Four elements, Cd, Ga, Mg, Mn, have been added in TCSLD3. The thermodynamic assessments of the Ag-Ga, Al-Ga, Al-Mg, Cd-Cu, Cd-Pb, Cd-Sb, Cd-Sn, Cd-Zn, Cu-Ga, Cu-Mn, Ga-Mg, Ga-Sn, Ga-Zn, Mn-Sn, Mg-Zn binary systems have been implemented. The following ternary systems have also been assessed: Al-Ga-Zn, Al-Mg-Zn, Cd-Pb-Sn, Cd-Sb-Zn, Cu-Mn-Sn, Ga-Sn-Zn.

MAJOR UPDATES FROM TCSLD1 TO TCSLD2

The thermodynamic assessments of the Ge-Pt and Pt-Sb binary systems have been included in TCSLD2. The descriptions of Ag-Ge, Ag-Pd, Al-Au, Al-Bi, Al-Co, Al-Si, Au-Bi, Au-Co, Au-Ge, Au-Sb, Bi-Cu, Bi-Ni, Bi-Sn, Co-Ge, Co-Zn, Cu-Ge, Cu-Pb, Cu-Zn, Ge-Ni, Ge-Sb, In-Pb, Ni-Sn, Ni-Zn, Pb-Pt, Pb-Sb, Pb-Zn have been updated, taking into account newly available experimental data and/or the compatibility in higher order systems. In most cases, especially when it is important, the phases having the same crystal structure have been merged as the same phase.

The following ternary systems have been implemented in TCSLD2: Ag-Au-Ge, Ag-In-Pd, Al-Cu-Sn, Al-Ge-Zn, Al-Sn-Zn, Au-Cu-Sb, Au-Ge-Sn, Co-Ni-Sb, Cu-Ni-Sn, Ge-Sb-Sn, In-Pb-Sn, Pb-Sb-Sn, Pb-Sn-Zn. The descriptions of Ag-Au-Pb, Ag-Au-Sn, Ag-Bi-Sn, Ag-Cu-In, Ag-Sb-Sn, Ag-Sb-Zn, Ag-Sn-Zn, Al-Bi-Sn, Al-Bi-Zn, Al-Cu-Zn, Au-Bi-Sn, Au-In-Sb, Au-In-Sn, Au-Ni-Sn, Au-Sb-Sn, Bi-In-Sn, Bi-Sb-Sn, Cu-In-Sn, Cu-Si-Zn, In-Ni-Sn, In-Sb-Sn have been updated on a basis of critical evaluation of available experimental and theoretical data. Please note that minor revisions have also been made on many other binary and ternary systems.